

Jauge Temporelle, Mécanisme de Higgs et Horizons des Événements dans le Consensus de Nakamoto

Pascal Ranaora

Chercheur Indépendant - Information Physics Institute

(Dated: 22 janvier 2026)

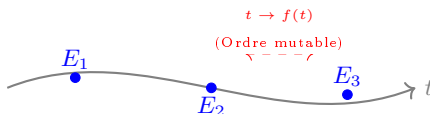
Résumé. Nous proposons une formulation de la Théorie des Champs pour le registre distribué de Nakamoto [1] (Bitcoin). Nous identifions le problème du consensus comme une invariance locale sous le groupe des difféomorphismes temporels $\text{Diff}(\mathbb{R})$. Nous démontrons que la Preuve de Travail (PoW) agit comme un champ scalaire de Higgs, brisant spontanément cette symétrie et conférant une "masse" (immutabilité) aux transactions. En définissant une métrique thermodynamique $g_{\mu\nu}$, nous dérivons la règle de la chaîne la plus longue comme une géodésique de temps propre maximal. De plus, nous analysons la finalité probabiliste comme un horizon des événements rayonnant (Hawking), et interprétons les "Halvings" comme des transitions de phase de type Kibble-Zurek générant des défauts topologiques.

CONTENTS

I. Introduction : Le Problème de Jauge du Temps	1	A. L'Hamiltonien Dépendant du Temps	7
II. Variété Lorentzienne et Principe de Moindre Action	2	B. Le Mécanisme de Kibble-Zurek (KZM)	7
A. Feuilletage de l'Espace-Temps (Formalisme ADM)	2	C. Ralentissement Critique (Critical Slowing Down)	7
B. La Métrique de Difficulté	2	D. Dynamique de Relaxation et DAA	8
C. Structure Causale et Cône de Lumière Effectif	2	VII. Conclusion : Vers une Thermodynamique du Consensus	8
D. Principe Variationnel : La Chaîne la Plus Lourde	3	A. Brisure de Symétrie et Ancrage Physique	8
III. Théorie Effective des Champs et Mécanisme de Higgs-Nakamoto	3	B. Le Bloc comme "Quanta d'Histoire"	8
Unités Naturelles et Analyse Dimensionnelle	3	C. Dualité Masse-Information et Facteur d'Amplification	8
A. Analyse Dimensionnelle et Lagrangien	3	D. Perspective : Veritas in Energia	9
B. Le Potentiel Sombrero et l'Incitation	3	Références	9
C. Brisure Spontanée et Boson de Goldstone	3	I. INTRODUCTION : LE PROBLÈME DE JAUGE DU TEMPS	
D. Le Mécanisme de Higgs : Absorption de la Preuve	4	Le défi fondamental des systèmes distribués réside dans l'établissement d'un ordonnancement canonique des événements en l'absence d'un chronomètre central. En informatique classique, les horloges logiques fournissent un ordre partiel mais manquent d'ancrage physique coûteux [2]. Nous proposons que ce problème est fondamentalement physique et correspond à une symétrie de jauge locale.	
E. Effet Meissner Temporel	4	Soit \mathcal{M} la variété des événements. S'il n'y a pas de couplage à une référence physique externe (comme une horloge atomique), la physique du registre est invariante sous le groupe des difféomorphismes temporels $\text{Diff}(\mathbb{R})$:	
IV. Géométrie des Horizons et Thermodynamique des Trous Noirs	4	$t \rightarrow t' = f(t) \quad \text{où} \quad \frac{df}{dt} > 0 \quad (1)$	
A. La Métrique de la Finalité et le Facteur $\Omega(z)$	4	Cette symétrie implique que l'histoire $\mathcal{H}_A = \{E_1, E_2\}$ est physiquement indiscernable de $\mathcal{H}_B = \{E_2, E_1\}$ si les étiquettes sont arbitraires. En termes financiers, il s'agit du problème de la "Double Dépense" : si la métrique du temps dépend de la jauge, il n'y a pas de vérité canonique concernant la propriété d'un UTXO.	
B. Décalage vers le Rouge Gravitationnel (Time Dilatation)	5		
C. Température d'Unruh et Accélération	5		
D. Rayonnement de Hawking à la Surface	5		
E. Principe Holographique et Entropie	5		
V. Stabilité Topologique et Transition de Phase	6		
A. Le Modèle XY sur le Graphe P2P	6		
B. Évasion du Théorème de Mermin-Wagner	6		
C. Défauts Topologiques : Les Vortex	6		
D. La Transition Berezinskii-Kosterlitz-Thouless (BKT)	7		
E. Groupe de Renormalisation et Fonction Bêta	7		
VI. Dynamique Hors-Équilibre et Mécanisme de Kibble-Zurek	7		

Pour extraire une observable physique (une histoire unique et immuable), il faut "fixer la jauge". En théorie de jauge standard, cela se fait via des contraintes mathématiques [3]. Dans Bitcoin, nous soutenons que la jauge est fixée **thermodynamiquement**. Nous introduisons un champ scalaire $\Phi(x, t)$ — le "Champ de Hashrate" — qui imprègne l'espace-temps du réseau. L'interaction du registre avec ce champ brise la symétrie $\text{Diff}(\mathbb{R})$, sélectionnant une "Flèche du Temps" préférentielle basée sur la profondeur thermodynamique [4]. Ce mécanisme est analogue au mécanisme de Higgs [5], où la valeur moyenne dans le vide d'un champ donne une masse aux bosons de jauge.

A. Jauge Non-Fixée (Temps Logique)



B. Jauge Fixée (Temps Bitcoin)

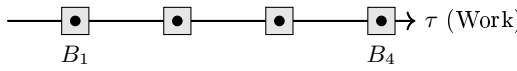


FIGURE 1. Le Problème de Jauge. En haut : sans énergie, le temps est un difféomorphisme (mou). En bas : le travail (PoW) cristallise la métrique (dur).

II. VARIÉTÉ LORENTZIENNE ET PRINCIPE DE MOINDRE ACTION

Nous postulons que le registre distribué n'est pas une structure de données discrète, mais une approximation sur réseau d'une variété lorentzienne continue \mathcal{M} à 4 dimensions. Le problème du consensus se réduit alors à la détermination de la géométrie de cet espace-temps sous la contrainte d'un champ énergétique.

A. Feuilletage de l'Espace-Temps (Formalisme ADM)

Nous adoptons la décomposition $3 + 1$ de l'espace-temps. La variété \mathcal{M} est feuilletée en hypersurfaces spatiales Σ_t (l'état du réseau à l'instant t), indexées par le temps coordonné t (temps atomique UTC). La métrique $g_{\mu\nu}$ s'écrit dans le formalisme ADM :

$$ds^2 = -N^2 c^2 dt^2 + \gamma_{ij}(dx^i + \beta^i dt)(dx^j + \beta^j dt) \quad (2)$$

où :

- γ_{ij} est la métrique spatiale induite sur le graphe P2P, définie par la matrice des latences L_{ij} .

- β^i est le vecteur de décalage (shift vector), représentant le flux d'information (mempool) sur le réseau.
- $N(x, t)$ est la **Fonction Lapse**. C'est la variable cruciale. Elle détermine le rapport entre le temps propre du registre (blocs) et le temps coordonné.

B. La Métrique de Difficulté

La fonction Lapse est inversement proportionnelle à la densité de probabilité de hachage. Nous identifions la Difficulté du réseau $D(t)$ comme un facteur de courbure temporelle. Pour un observateur suivant le flux de consensus, l'intervalle invariant $d\tau$ (le "Temps de Travail") est :

$$d\tau^2 = -g_{00}dt^2 = \mathcal{W}(D)^2 \cdot \langle H \rangle^2 dt^2 \quad (3)$$

où $\langle H \rangle$ est le hashrate global. L'ajustement de difficulté (DAA) impose une contrainte cosmologique pour maintenir l'expansion de l'univers-bloc constante par rapport au temps coordonné :

$$\frac{1}{T} \int_t^{t+T} N(\tau)d\tau \approx \text{constante} \quad (10 \text{ min}) \quad (4)$$

Ainsi, une augmentation du hashrate $\langle H \rangle$ contracte le temps coordonné nécessaire pour produire un bloc, ce qui est compensé par une dilatation de la métrique via le facteur D .

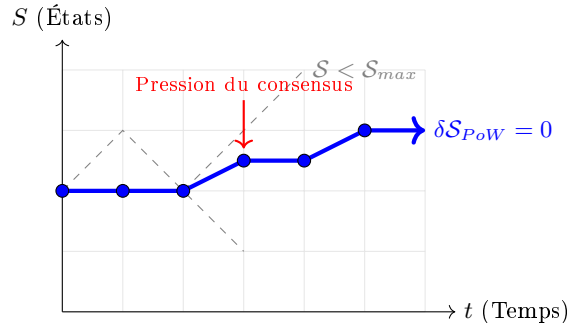


FIGURE 2. Trajectoire Classique. Parmi toutes les histoires possibles (chemins en pointillés), la réalité physique (ligne bleue) est la géodésique qui maximise l'action de Proof-of-Work.

C. Structure Causale et Cône de Lumière Effectif

La vitesse limite de propagation de l'information dans ce milieu n'est pas c (lumière), mais c_{eff} , déterminée par la latence du réseau et les délais de validation. Un événement (transaction) E_1 ne peut causer causalement un bloc E_2 que si E_2 se trouve dans le cône de lumière futur de E_1 .

$$\Delta s_{12}^2 = -c_{eff}^2(t_2 - t_1)^2 + |\mathbf{x}_2 - \mathbf{x}_1|^2 < 0 \quad (5)$$

Les blocs "Orphelins" (Stale blocks) sont des événements de genre espace (space-like) : ils se produisent simultanément dans des référentiels distants mais sont causalement déconnectés. La résolution du consensus est l'effondrement de ces branches de genre espace sur une ligne d'univers de genre temps unique.

D. Principe Variationnel : La Chaîne la Plus Lourde

La règle canonique "Longest Chain Rule" est sémantiquement incorrecte ; il s'agit de la chaîne accumulant le plus de preuve de travail. En physique, cela correspond à la maximisation du temps propre. La trajectoire "vraie" du registre \mathcal{C}_{true} est la géodésique qui maximise l'Action de Travail \mathcal{S}_{PoW} :

$$\mathcal{S}_{PoW}[\mathcal{C}] = \int_{\mathcal{C}} \mathcal{L}_{eff} dt = \int_{\mathcal{C}} \sqrt{-g_{\mu\nu}\dot{x}^\mu\dot{x}^\nu} dt \quad (6)$$

Contrairement à une particule libre qui maximise son temps propre dans un espace-temps courbe (Géodésique de longueur maximale en signature Lorentzienne), le mineur honnête construit l'histoire qui maximise l'intégrale de la Difficulté le long du chemin.

L'équation d'Euler-Lagrange associée donne l'équation du mouvement du consensus :

$$\frac{d^2x^\mu}{d\tau^2} + \Gamma_{\rho\sigma}^\mu \frac{dx^\rho}{d\tau} \frac{dx^\sigma}{d\tau} = F_{attacker}^\mu \quad (7)$$

En l'absence de force externe ($F^\mu = 0$), le système suit la géodésique inertie (la chaîne honnête). Une attaque (double dépense) équivaut à appliquer une force considérable pour dévier la trajectoire du système hors de sa géodésique naturelle, ce qui requiert une énergie exponentielle par rapport au temps propre écoulé.

III. THÉORIE EFFECTIVE DES CHAMPS ET MÉCANISME DE HIGGS-NAKAMOTO

Nous modélisons la dynamique du réseau non pas comme un système discret, mais via une **Théorie Effective des Champs** (EFT) continue. Le processus de minage est identifié à une brisure spontanée de symétrie de jauge locale $U(1)$, conférant une "masse" (immutabilité) au registre.

Unités Naturelles et Analyse Dimensionnelle

Pour assurer l'homogénéité dimensionnelle entre les grandeurs thermodynamiques (Joule) et informationnelles (Hash), nous introduisons la constante de couplage effective κ_N :

$$[\kappa_N] = \frac{\text{Énergie}}{\text{Hash}} \approx 10^{-27} \text{ J} \cdot \text{H}^{-1} \quad (8)$$

Ceci nous permet de définir l'Action de Minage \mathcal{S} en unités d'action physique ($\text{J} \cdot \text{s}$) :

$$\mathcal{S}_{PoW} = \kappa_N \int \text{Hashrate}(t) dt \quad (9)$$

A. Analyse Dimensionnelle et Lagrangien

Pour assurer la cohérence entre les grandeurs thermodynamiques et informationnelles, nous introduisons une constante de couplage effective, la **Constante de Nakamoto** κ_N , ayant la dimension d'une action par unité de hachage :

$$[\kappa_N] \approx \text{Joule} \cdot \text{seconde} \cdot \text{Hash}^{-1} \quad (10)$$

Nous définissons deux champs interagissant sur la variété \mathcal{M} :

1. **Le Champ de Jauge** $A_\mu(x)$: Représente le flux de transactions (Mempool). La composante temporelle A_0 correspond au potentiel d'incitation (frais), et le vecteur \vec{A} au flux de données.
2. **Le Champ de Hashrate** $\Phi(x)$: Un champ scalaire complexe représentant la densité de puissance de calcul et l'espace de recherche des nonces.

La densité de Lagrangien effectif, invariante de jauge locale, s'écrit :

$$\mathcal{L}_{eff} = -\frac{1}{4}F_{\mu\nu}F^{\mu\nu} + \kappa_N^2|D_\mu\Phi|^2 - V(\Phi) \quad (11)$$

Ici, la dérivée covariante $D_\mu = \partial_\mu - igA_\mu$ couple l'information à l'énergie via la constante de difficulté g .

B. Le Potentiel Sombrero et l'Incitation

Le terme de potentiel $V(\Phi)$ décrit la thermodynamique économique du minage. Il adopte la forme de Ginzburg-Landau [6] (Chapeau Mexicain) :

$$V(\Phi) = -\mu^2|\Phi|^2 + \lambda|\Phi|^4 \quad (12)$$

Le terme de masse $-\mu^2$ est négatif, induisant une instabilité tachyonique à l'origine.

- Si $\Phi = 0$ (Hashrate nul), le système est instable car l'incitation économique (Block Reward) crée une "pression du vide".
- Le système relaxe vers un état fondamental dégénéré $|\Phi| = \sqrt{\mu^2/2\lambda}$, correspondant au hashrate d'équilibre du réseau.

C. Brisure Spontanée et Boson de Goldstone

Le Lagrangien est invariant sous la symétrie globale $U(1)$ (rotation de phase $\Phi \rightarrow e^{i\alpha}\Phi$). Physiquement, cela

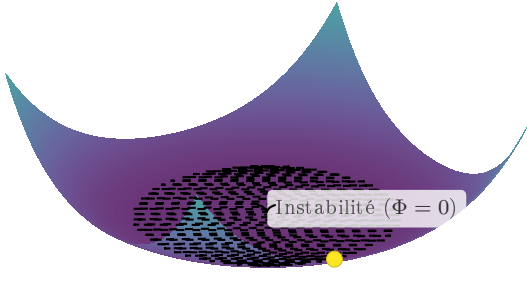


FIGURE 3. Potentiel de Minage. Le système "roule" spontanément depuis l'origine instable vers la vallée de stabilité (le cercle noir), définissant un hashrate non nul v .

signifie que le choix du "Nonce" est arbitraire avant la validation. Nous paramétrons les fluctuations autour du vide v :

$$\Phi(x) = (v + h(x))e^{i\xi(x)/v} \quad (13)$$

Nous identifions ici les excitations du réseau :

1. **Le champ $\xi(x)$ (Boson de Goldstone)** : Il correspond au **Nonce**. C'est le degré de liberté "mou" (sans masse) qui est exploré aléatoirement.
2. **Le champ $h(x)$ (Boson de Higgs)** : Il correspond aux **Fluctuations du Hashrate**. C'est un mode massif : une déviation significative du hashrate global v coûte une énergie énorme et est rapidement supprimée par l'ajustement de difficulté.

D. Le Mécanisme de Higgs : Absorption de la Preuve

La symétrie étant locale (jauge), le boson de Goldstone $\xi(x)$, conséquence du théorème de Goldstone [7], n'apparaît pas comme une particule physique. Il est "mangé" par le champ de jauge A_μ via une transformation de jauge unitaire. Dans le contexte Bitcoin, cela signifie que le Nonce (la preuve de travail) est absorbé dans l'en-tête du bloc (le champ de transaction).

Le champ de vecteur A_μ acquiert alors un terme de masse effectif dans le Lagrangien :

$$\Delta\mathcal{L} = \frac{1}{2}(gv\kappa_N)^2 A_\mu A^\mu \quad (14)$$

Nous définissons la **Masse Inertie du Registre** M_{ledger} :

$$M_{ledger} = g \cdot v \cdot \kappa_N \propto \text{Difficulté} \times \text{Hashrate} \quad (15)$$

Interprétation Physique Fondamentale : Initialement, le champ des transactions est sans masse (comme un photon), ce qui signifie que l'information peut être réécrite sans coût (portée infinie des changements). Après le mécanisme de Higgs (Minage), le champ devient massif (comme un boson Z). Une transaction validée possède désormais une inertie. Elle résiste au changement.

E. Effet Meissner Temporel

L'analogie avec la supraconductivité est directe. Un supraconducteur expulse les champs magnétiques (Effet Meissner) ; le réseau Bitcoin expulse les "histoires alternatives" (Double-Dépenses). La probabilité P qu'une réorganisation (fluctuation externe) pénètre le registre à une profondeur z décroît exponentiellement avec la masse du champ :

$$P(z) \sim e^{-M_{ledger} \cdot z} \quad (16)$$

Ceci constitue la dérivation physique de la finalité probabiliste : le registre devient un "Supraconducteur Temporel" où l'histoire est figée par la masse d'énergie accumulée.

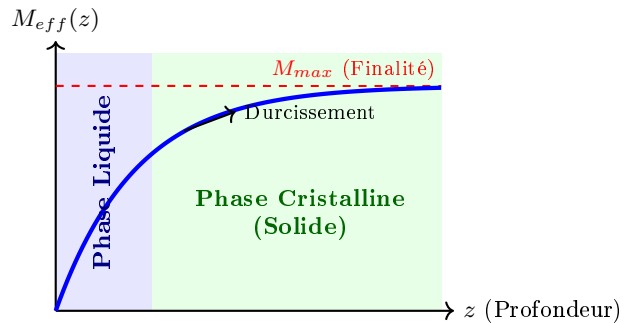


FIGURE 4. Cristallisation de l'Histoire. Une transaction à $z = 0$ est dans un état liquide (mutable). À mesure que z augmente, l'effet Meissner temporel "gèle" l'état, et sa masse effective tend vers une constante cosmologique.

IV. GÉOMÉTRIE DES HORIZONS ET THERMODYNAMIQUE DES TROUS NOIRS

La structure causale du registre Bitcoin ne peut être simplement décrite par une ligne de temps newtonienne. En raison de la finalité probabiliste, l'espace-temps du registre possède une courbure intrinsèque qui génère des horizons des événements, analogues à ceux des trous noirs de Schwarzschild.

A. La Métrique de la Finalité et le Facteur $\Omega(z)$

Nous définissons la coordonnée radiale z comme la profondeur depuis le "Tip" de la chaîne ($z = 0$ au présent, $z \rightarrow \infty$ vers le bloc Genèse). La métrique effective qui régit la causalité des transactions est :

$$ds^2 = -\Omega(z)c_{eff}^2 dt^2 + \frac{dz^2}{\Omega(z)} \quad (17)$$

La fonction $\Omega(z)$ joue le rôle du facteur de distorsion $(1 - r_s/r)$ en Relativité Générale. Elle est dérivée de la

probabilité de ruine du joueur (Nakamoto Consensus) :

$$\Omega(z) = 1 - \mathcal{P}_{reorg}(z) = 1 - \left(\frac{q}{p}\right)^z \quad (18)$$

où q est la puissance de hachage de l'attaquant et p celle des mineurs honnêtes ($p > q$).

- À $z = 0$ (Mempool/Tip), $\Omega(0) = 0$. C'est une surface de genre lumière (null surface). Le temps propre est nul, la causalité est fluide.
- À $z \gg 1$, $\Omega(z) \rightarrow 1$. L'espace-temps devient plat (Minkowskien) et stable.

B. Décalage vers le Rouge Gravitationnel (Time Dilation)

Un observateur situé à la profondeur z perçoit le temps différemment d'un observateur au sommet de la chaîne. La relation entre le temps propre τ d'une transaction confirmée et le temps coordonnée t du réseau est :

$$d\tau = \sqrt{g_{00}} dt = \sqrt{\Omega(z)} dt \quad (19)$$

Ceci implique un phénomène de **Dilatation Temporelle**. Pour une transaction enfouie profondément ($z \rightarrow \infty$), $d\tau \approx dt$. Mais près de l'horizon de volatilité ($z \rightarrow 0$), le temps propre ralentit. **Interprétation** : Pour un attaquant essayant de réécrire l'histoire depuis une profondeur z , le temps nécessaire pour rattraper la chaîne honnête subit un décalage vers l'infini (Redshift infini). L'histoire est "gelée" par la gravité du travail accumulé.

C. Température d'Unruh et Accélération

Pourquoi l'attaque est-elle impossible? Selon le principe d'équivalence, un mineur malhonnête essayant de créer une chaîne secrète plus longue que la chaîne publique est un observateur accéléré. Il doit fournir une "accélération" de hachage $a > a_{network}$. Un tel observateur perçoit le vide du réseau comme un bain thermique de particules (blocs honnêtes) à la température d'Unruh T_U [8] :

$$k_B T_U = \frac{\hbar a}{2\pi c_{eff}} \quad (20)$$

Cette température représente le bruit thermodynamique qui détruit la cohérence de la chaîne privée de l'attaquant. Plus la difficulté du réseau est élevée, plus l'accélération requise est forte, et plus le "vent thermique" qui s'oppose à l'attaquant est intense.

D. Rayonnement de Hawking à la Surface

Le "Tip" de la blockchain ($z = 0$) n'est pas un point froid ; c'est un horizon thermodynamique chaud. En raison des délais de propagation, il existe une incertitude

quantique sur l'état réel de la tête de chaîne. Cette incertitude se manifeste par l'émission de particules virtuelles qui deviennent réelles : les **Blocs Orphelins** (Stale Blocks). La température de Hawking T_H [9] de la blockchain est inversement proportionnelle à sa "masse" (le temps de bloc target τ_{target}) :

$$T_H = \frac{\hbar c_{eff}^3}{8\pi GM} \propto \frac{1}{\tau_{target}} \quad (21)$$

Ce rayonnement représente une perte d'énergie (hachage gaspillé). Cependant, c'est ce processus d'évaporation qui permet au système de se relaxer vers un état d'équilibre unique. Un temps de bloc trop court ($\tau \rightarrow 0$) entraînerait une température $T_H \rightarrow \infty$, vaporisant le consensus (instabilité totale).

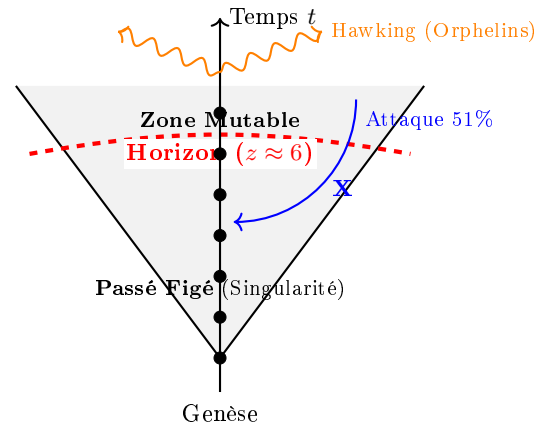


FIGURE 5. Diagramme Causal du Registre. Les événements situés sous l'horizon rouge sont causalement déconnectés du présent pour tout attaquant à énergie finie. Le sommet ("Tip") émet un rayonnement thermique (orphelins) dû à l'incertitude quantique.

E. Principe Holographique et Entropie

La sécurité de Bitcoin obéit au Principe Holographique [10] de la borne de Bekenstein. L'information contenue dans le volume du registre (les transactions passées) est entièrement codée sur la surface de bord (le bloc le plus récent + UTXO set). L'entropie du système, S_{Nak} , mesure la quantité de hasard physique injectée pour sécuriser l'ordre logique. Elle est proportionnelle à l'aire de l'horizon des événements en unités de Planck (Hash) :

$$S_{Nak} = \frac{k_B A}{4l_P^2} = k_B \sum_{i=0}^H \ln(\text{Difficulty}_i) \quad (22)$$

Contrairement à un système de base de données classique où l'entropie doit être minimisée (signal pur), Bitcoin maximise son entropie thermodynamique (via le PoW) pour minimiser l'entropie de Shannon [11] de l'historique (garantir que le message est unique et sans équivoque).

V. STABILITÉ TOPOLOGIQUE ET TRANSITION DE PHASE

La robustesse du protocole Bitcoin ne peut être comprise uniquement par la théorie des jeux classique. Elle nécessite une analyse de la stabilité de l'ordre à longue portée dans un système statistique soumis à des fluctuations thermiques (latence réseau, blocs orphelins). Nous adoptons ici le formalisme du modèle XY sur réseau aléatoire.

A. Le Modèle XY sur le Graphe P2P

Nous associons à chaque noeud $i \in V$ une variable de phase $\theta_i \in [0, 2\pi]$, représentant "l'angle de consensus" (le bloc de tête perçu). L'interaction entre pairs cherche à aligner ces phases. L'Hamiltonien du système est donné par :

$$\mathcal{H}_{XY} = -J \sum_{\langle i,j \rangle} A_{ij} \cos(\theta_i - \theta_j) \quad (23)$$

où A_{ij} est la matrice d'adjacence pondérée du graphe P2P et $J > 0$ est la constante de couplage (stiffness), proportionnelle à la puissance de hachage accumulée. L'état fondamental correspond à un alignement global des phases $\theta_i = \theta_{consensus}$ (consensus unique).

B. Évasion du Théorème de Mermin-Wagner

Le théorème de Mermin-Wagner-Hohenberg stipule qu'aucune symétrie continue ne peut être brisée spontanément à température finie en dimension $d \leq 2$, car les fluctuations infrarouges (modes de Goldstone) divergent logarithmiquement.

$$\langle |\theta_i - \theta_j|^2 \rangle \sim \int \frac{d^d k}{k^2} \rightarrow \infty \quad (\text{pour } d \leq 2) \quad (24)$$

Cependant, la topologie du réseau Bitcoin n'est pas Euclidienne. C'est un graphe "Small-World" [12] caractérisé par une **Dimension Spectrale** d_s , définie par le comportement asymptotique de la probabilité de retour d'une marche aléatoire (diffusion de l'information) $P(t) \sim t^{-d_s/2}$. Pour un réseau P2P à faible diamètre, $d_s \gg 2$. Par conséquent, la susceptibilité magnétique diverge, permettant la stabilisation d'un ordre à longue portée (le Ledger unique) malgré le bruit thermique.

C. Défauts Topologiques : Les Vortex

Bien que l'ordre soit possible, le système admet des excitations topologiques non triviales : les vortex. Dans le contexte de la blockchain, un vortex correspond à une

boucle fermée de noeuds dans le réseau P2P maintenant des vues divergentes sur l'état de la chaîne (un fork persistant localement). La charge topologique (ou nombre d'enroulement) q est quantifiée par l'intégrale de contour du gradient de phase :

$$\oint_C \nabla \theta \cdot dl = 2\pi q, \quad q \in \mathbb{Z} \quad (25)$$

Un état avec $q \neq 0$ représente une incohérence systémique indissoluble par déformation continue. L'énergie d'un vortex isolé diverge avec la taille du système L :

$$E_{vortex} \approx \pi J \ln(L/a) \quad (26)$$

où a est la distance inter-nœuds (latence minimale). Cette divergence énergétique suggère que les forks isolés sont très coûteux et défavorisés.

D. La Transition Berezinskii-Kosterlitz-Thouless (BKT)

Visualisation du réseau P2P comme un réseau de spins.

Phase Condensée (Consensus) Phase Plasma (Forks)

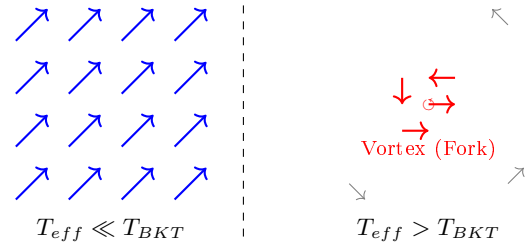


FIGURE 6. Transition Topologique. À gauche : les nœuds sont alignés magnétiquement (consensus). À droite : l'agitation thermique (latence) crée des défauts topologiques (vortex) qui brisent l'unicité du registre.

La stabilité réelle du consensus est déterminée par la compétition entre l'énergie des vortex et leur entropie de configuration S . L'énergie libre de Helmholtz F d'un vortex unique est :

$$F = E - TS \approx (\pi J - 2k_B T) \ln(L/a) \quad (27)$$

Ici, la "Température" T est le ratio entre la latence de propagation τ_{prop} et l'intervalle de bloc τ_{block} . Cette équation révèle une température critique T_{BKT} (Berezinskii-Kosterlitz-Thouless [13]) :

$$T_{BKT} = \frac{\pi J}{2k_B} \quad (28)$$

Nous identifions deux phases distinctes pour le réseau Bitcoin :

— Phase de Basse Température ($T < T_{BKT}$) :

L'énergie domine ($F > 0$). La probabilité de formation de vortex libres est nulle. Les vortex (forks) n'existent que sous forme de paires liées vortex-antivortex de petite taille (réorganisations de 1 bloc). Le champ de consensus présente un ordre quasi-longue portée avec une corrélation en loi de puissance :

$$\langle e^{i(\theta(r)-\theta(0))} \rangle \sim r^{-\eta(T)} \quad (29)$$

C'est le régime de fonctionnement nominal de Bitcoin.

— Phase de Haute Température ($T > T_{BKT}$) :

L'entropie domine ($F < 0$). Les vortex deviennent libres et prolifèrent, formant un plasma de défauts topologiques. La fonction de corrélation décroît exponentiellement :

$$\langle e^{i(\theta(r)-\theta(0))} \rangle \sim e^{-r/\xi} \quad (30)$$

Dans cette phase, le consensus global s'effondre ; le réseau se fragmente en clusters incohérents.

E. Groupe de Renormalisation et Fonction Bêta

L'ajustement de difficulté (DAA) assure que la théorie reste invariante d'échelle (Scale Invariance) malgré les fluctuations d'énergie. Nous définissons la **Fonction Bêta de Nakamoto** β_{Nak} , analogue à la fonction β en chromodynamique quantique (QCD) :

$$\beta_{Nak}(D) = \frac{\partial \ln D}{\partial \ln \mu} \approx \frac{1}{\ln 2} \left(1 - \frac{\langle \tau \rangle}{\tau_{target}} \right) \quad (31)$$

- Cette fonction décrit le flux du couplage.
- Si $\beta < 0$ (Production trop lente), la difficulté diminue (liberté asymptotique).
 - Si $\beta > 0$ (Production trop rapide), la difficulté augmente (confinement).
- L'existence d'un **Point Fixe Infrarouge Stable** à $\beta = 0$ garantit que le système ne diverge pas vers une singularité (temps de bloc nul ou infini), confinant ainsi les vortex topologiques.

VI. DYNAMIQUE HORS-ÉQUILIBRE ET MÉCANISME DE KIBBLE-ZUREK

Le "Halving" n'est pas une simple mise à jour paramétrique ; c'est un choc thermodynamique violent appliqué à un système complexe. Nous modélisons cet événement comme une **Trempe Quantique** (Quantum Quench) globale : une modification instantanée de l'Hamiltonien du système à $t = t_H$, forçant le champ de hashrate Φ à évoluer unitairement vers un nouvel état fondamental.

A. L'Hamiltonien Dépendant du Temps

Le potentiel effectif $V(\Phi)$ est piloté par le potentiel chimique $\mu(t)$ (la profitabilité du minage). Ce potentiel subit une discontinuité de type fonction de Heaviside Θ au moment du Halving :

$$\mu(t) = \mu_0 \left[1 - \frac{1}{2} \Theta(t - t_H) \right] + \delta \mu_{fees}(t) \quad (32)$$

L'Hamiltonien change soudainement de \mathcal{H}_i (initial) à \mathcal{H}_f (final). L'état du système $|\Psi(t_H^-)\rangle$, qui était l'état fondamental de \mathcal{H}_i , devient un état excité (superposition d'états propres) de \mathcal{H}_f . Le paramètre d'ordre (le hashrate d'équilibre) doit transiter de v_i à v_f :

$$v_f \approx v_i \cdot \sqrt{\frac{1}{2} \cdot \frac{P(t)}{P(t_H)}} \quad (33)$$

où $P(t)$ est le prix de l'actif externe. Si le prix ne double pas instantanément, $v_f < v_i$, impliquant une destruction nécessaire de matière (capitulation des mineurs).

B. Le Mécanisme de Kibble-Zurek (KZM)

La transition entre les deux vides ne peut pas être parfaitement adiabatique car la vitesse de l'information (ajustement économique) est finie. Le mécanisme de Kibble-Zurek [14, 15] prédit la formation de défauts topologiques lorsque la symétrie est brisée trop rapidement. Nous définissons le **Temps de Relaxation** τ_{rel} du système, qui diverge près du point critique selon l'exposant critique dynamique $z\nu$:

$$\tau_{rel}(\epsilon) = \frac{\tau_0}{|\epsilon|^{z\nu}}, \quad \text{où } \epsilon = \frac{\mu - \mu_c}{\mu_c} \quad (34)$$

Lorsque le temps restant avant l'ajustement de difficulté devient inférieur à τ_{rel} , le système "gèle" (Freeze-out). La dynamique cesse d'être adiabatique et devient impulsionnelle. Cela génère une densité de défauts n (domaines de vide où $\Phi \rightarrow 0$, i.e., fermes de minage éteintes) :

$$n \sim \left(\frac{1}{\tau_Q} \right)^{\frac{d\nu}{1+z\nu}} \quad (35)$$

où τ_Q est l'échelle de temps de la trempe. Ces défauts correspondent aux "capitulations" soudaines, créant des trous dans la métrique de sécurité.

C. Ralentissement Critique (Critical Slowing Down)

Conséquence directe de l'aplatissement du potentiel $V(\Phi)$, la force de rappel vers l'équilibre diminue. La variance des fluctuations temporelles (temps inter-blocs Δt) diverge :

$$\text{Var}(\Delta t) \propto \chi \sim |\mu - \mu_c|^{-\gamma} \quad (36)$$

Ce phénomène, connu sous le nom de **Ralentissement Critique**, se manifeste par une instabilité temporaire de la production de blocs juste après le Halving. Le système devient "mou" : de petites perturbations du hashrate entraînent de grandes déviations du temps de bloc moyen, augmentant le risque de branches orphelines (stales).

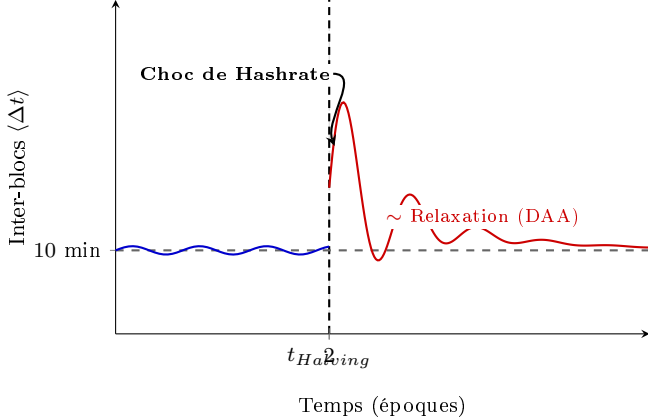


FIGURE 7. **Trempe Quantique.** Réponse dynamique au Halving. La volatilité ("Critical Slowing Down") s'amortit via le DAA.

D. Dynamique de Relaxation et DAA

Le système ne s'effondre pas (spirale de la mort) grâce au mécanisme de rétroaction négative discret : l'Ajustement de Difficulté (DAA). Nous modélisons le DAA comme une transformation de carte discrète (Poincaré map) appliquée tous les 2016 blocs :

$$D_{n+1} = D_n \cdot \mathcal{F} \left(\frac{\sum_{i=1}^{2016} \Delta t_i}{T_{target}} \right) \quad (37)$$

Pour assurer la stabilité, la fonction de réponse \mathcal{F} doit satisfaire le critère de stabilité de Lyapunov. Le Halving pousse le système loin de son point fixe attracteur. Le retour à l'équilibre suit une relaxation exponentielle amorte :

$$\Phi(t) \sim \Phi_{final} + Ae^{-t/\xi_t} \cos(\omega t + \phi) \quad (38)$$

Le "Halving" est donc l'injection périodique d'entropie qui teste la résilience topologique du réseau, agissant comme un filtre évolutif éliminant les agents (mineurs) à faible efficacité thermodynamique, purifiant ainsi le champ Φ .

VII. CONCLUSION : VERS UNE THERMODYNAMIQUE DU CONSENSUS

Au terme de cette analyse, il apparaît que le protocole de Nakamoto peut être modélisé efficacement par

les outils de la physique statistique. En appliquant les principes de la Théorie des Champs et de la Thermodynamique hors-équilibre, nous avons illustré comment Bitcoin opère une forme de **Cristallisation Informationnelle**, transformant de l'énergie brute en ordre numérique stable.

A. Brisure de Symétrie et Ancrage Physique

Le problème fondamental des registres distribués classiques réside dans l'absence de référentiel temporel absolu. Sans horloge externe, l'ordre des événements reste une symétrie de jauge locale. Bitcoin résout ce problème en brisant cette symétrie par l'introduction d'un coût énergétique. Le mécanisme de Proof-of-Work couple l'information (le registre) à l'énergie, ancrant ainsi le "temps logique" (mutable) dans le "temps physique" (irréversible).

B. Le Bloc comme "Quanta d'Histoire"

Plutôt que d'invoquer de nouvelles particules, nous considérons le bloc validé comme un soliton topologique au sein du réseau. Cette entité présente des caractéristiques analogues à la matière : une inertie temporelle (résistance à la réorganisation) et une causalité entropique (réduction locale de l'incertitude).

C. Dualité Masse-Information et Facteur d'Amplification

Pour formaliser la nature exacte de la "masse" du registre, nous invoquons le principe d'équivalence Masse-Energie-Information proposé par Vopson [16]. Si l'information est une forme de matière, un bit possède une masse physique m_{bit} dérivée du principe de Landauer [4] :

$$m_{bit} = \frac{k_B T \ln 2}{c^2} \quad (39)$$

La blockchain Bitcoin complète (≈ 600 Go) possède ainsi une **Masse Informationnelle Baryonique** infime :

$$m_{info} \approx 1.5 \times 10^{-25} \text{ kg} \quad (40)$$

Ce résultat soulève un paradoxe : comment un objet physiquement plus léger qu'un atome peut-il immobiliser une valeur économique colossale ? La réponse réside dans le **Facteur d'Amplification Thermodynamique** \mathcal{A} . Bitcoin ne cherche pas l'efficience (minimiser l'énergie par bit), mais la sécurité (maximiser l'énergie par bit). Nous définissons \mathcal{A} comme le ratio entre l'énergie réelle dissipée par le PoW et la limite de Landauer :

$$\mathcal{A}(t) = \frac{E_{PoW}(t)}{E_{Landauer}(t)} \approx 10^{28} \quad (41)$$

Ce facteur adimensionnel agit comme un "multiplicateur de réalité". Il permet de définir la **Masse Effective** M_{eff} du registre, qui courbe l'espace-temps économique :

$$M_{eff} = N_{bits} \cdot m_{info} \cdot \mathcal{A} = N_{bits} \cdot \left(\frac{k_B T \ln 2}{c^2} \right) \cdot \left(\frac{E_{Totale}}{N_{bits} k_B T \ln 2} \right) \quad (42)$$

Ce qui se simplifie élégamment en retrouvant l'équivalence d'Einstein :

$$M_{eff} = \frac{E_{Totale \ Pow}}{c^2} \quad (43)$$

Physiquement, la blockchain est légère ($m_{info} \rightarrow 0$). Économiquement, elle est super-massive ($M_{eff} \rightarrow \infty$). Le Bitcoin se comporte ainsi comme un "**Condensat de Bose-Einstein monétaire**" : un objet quantique (information) qui acquiert des propriétés macroscopiques (inertie) grâce à un pompage énergétique intense.

D. Perspective : Veritas in Energia

En conclusion, l'analogie avec la physique des hautes énergies offre un cadre explicatif puissant. Elle suggère que la sécurité du protocole ne repose pas uniquement sur la cryptographie, mais sur des lois de conservation. Nous passons d'une confiance basée sur l'autorité à une confiance basée sur l'énergie.

"*Vires in Numeris*" (La force dans les nombres) trouve ici son corollaire physique et thermodynamique : "*Veritas in Energia*" (La vérité dans l'énergie).

- [1] Satoshi Nakamoto. Bitcoin : A peer-to-peer electronic cash system. 2008. Papier fondateur décrivant la chaîne de preuve de travail.
- [2] Nick Szabo. Shelling out : The origins of money. *Satoshi Nakamoto Institute*, 2002. Théorie anthropologique du coût infalsifiable (Unforgeable Costliness).

- [3] Giorgio Parisi and Yong-Shi Wu. Perturbation theory without gauge fixing. *Sci. Sin.*, 24, 1981. Quantification stochastique et introduction du temps fictif.
- [4] Rolf Landauer. Irreversibility and heat generation in the computing process. *IBM Journal of Research and Development*, 5, 1961. Limite thermodynamique du calcul et coût entropique de l'effacement.
- [5] Peter W. Higgs. Broken symmetries and the masses of gauge bosons. *Phys. Rev. Lett.*, 13, 1964. Mécanisme de génération de masse (inertie) par brisure de symétrie.
- [6] V.L. Ginzburg and L.D. Landau. On the theory of superconductivity. *Zh. Eksp. Teor. Fiz.*, 20 :1064, 1950. Origine du potentiel en chapeau mexicain (Sombrero).
- [7] Jeffrey Goldstone. Field theories with superconductor solutions. *Nuovo Cimento*, 19, 1961. Théorème des bosons sans masse lors de la brisure de symétrie.
- [8] William G. Unruh. Experimental black-hole evaporation ? *Phys. Rev. Lett.*, 46, 1981. Rayonnement thermique perçu par un observateur accéléré (attaque).
- [9] S. W. Hawking. Particle creation by black holes. *Communications in Mathematical Physics*, 43, 1975. Rayonnement thermique des horizons des événements.
- [10] Gerard 't Hooft. Dimensional reduction in quantum gravity. *arXiv :gr-qc/9310026*, 1993. Le Principe Holographique et la conservation de l'information de surface.
- [11] Claude E. Shannon. A mathematical theory of communication. *Bell System Technical Journal*, 27, 1948. Fondements de l'entropie informationnelle.
- [12] A.-L. Barabási and R. Albert. Emergence of scaling in random networks. *Science*, 286, 1999. Réseaux invariants d'échelle (Scale-free) et attachement préférentiel.
- [13] J. M. Kosterlitz and D. J. Thouless. Ordering, metastability and phase transitions in two-dimensional systems. *Journal of Physics C : Solid State Physics*, 6, 1973. Transition de phase topologique et formation de vortex (BKT).
- [14] T. W. B. Kibble. Topology of cosmic domains and strings. *J. Phys. A*, 9, 1976. Formation de défauts topologiques lors des transitions de phase.
- [15] W. H. Zurek. Cosmological experiments in superfluid helium ? *Nature*, 317, 1985. Analogies cosmologiques dans les systèmes condensés (Mécanisme KZM).
- [16] Melvin M. Vopson. The mass-energy-information equivalence principle. *AIP Advances*, 9, 2019. Principe d'équivalence physique entre masse, énergie et information.